

© В.П. Нагорний

докт. техн. наук

І.І. Денисюк

канд. техн. наук

ІГФ НАН України

## Спектральні характеристики акустичних хвиль за наявності режиму розчиненого газу в нафтоносному пласті

УДК 532.595

У статті розглянуто взаємодію акустичних хвиль із пухирцями газу та досліджено спектральні характеристики хвиль тиску, що випромінюються газовими пухирцями в режимі резонансу.

**Ключові слова:** акустика, газ, пухирець, резонанс, тиск, хвиля, частота.

В статті рассмотрено взаимодействие акустических волн с пузырьками газа и исследованы спектральные характеристики волн давления, излучаемых газовыми пузырьками в режиме резонанса.

**Ключевые слова:** акустика, газ, пузырек, резонанс, давление, волна, частота.

The article deals with the interaction of acoustic waves with bubbles of gas and spectral characteristics of pressure waves emitted by gas bubbles in the resonance mode.

**Key words:** acoustics, gas, bubble, resonance, pressure, wave, frequency.

Відомо [1], що в процесі зниження тиску до величини, меншої від тиску насичення нафти газом, із неї виділяється газ, що раніше знаходився у нафті в розчиненому стані. При цьому в пласті спостерігається двофазний режим течії нафти із пухирцями газу. Пухирцеві режими течії рідин досить детально досліджено в роботах [2–6]. У випадку неньютонівських рідин із пухирцями фізичні властивості одного середовища (рідини) суттєво змінюються у разі невеликих за масою і об'ємом домішок іншого середовища (пухирців газу) [7].

Найпростішою моделлю рідини з пухирцями газу є суміш із ідеальної рідини з рівномірно розподіленими в ній газовими пухирцями однакового розміру. Пухирці знаходяться на такій відстані один від одного, що взаємодія між ними здійснюється тільки через поле тиску. Радіальні пульсації газових пухирців обумовлені дією двох сил: сили пружного стискання газу в пухирці та сили інерції приєднаної маси рідини, що втягується в рух пульсаціями пухирців. У результаті газовий пухирець у рідині можна розглядати як осцилятор, який у лінійному наближенні описується рівнянням [7]

$$\ddot{V} + \omega_0^2 V = -\varepsilon p, \quad (1)$$

де  $\omega_0^2 = \frac{3\gamma p_0}{\rho_0 R_0^2}$  – частота власних коливань пухирця;

$V$  – об'єм пухирця;  $\varepsilon = \frac{4\pi R_0}{\rho_0}$ ;  $R_0$  – рівноважне значення

радіуса пухирця;  $\rho_0, p_0$  – початкові (незбурені) значення густини та тиску в рідині;  $p$  – відхилення тиску від рівноважного значення.

Приймаємо також, що характерна довжина акустичної хвилі велика порівняно не тільки з радіусом пухирців, але й із середньою відстанню між ними. За прийнятих допущень поле відхилення тиску від рівноважного значення в газорідинній суміші описується рівнянням [8–10]:

$$\frac{\partial^2 p}{\partial x^2} - \frac{1}{c^2} \frac{\partial^2 p}{\partial t^2} + \rho_0 n \frac{\partial^2 V}{\partial t^2} = 0, \quad (2)$$

де  $n = \frac{z}{V}$  – число пухирців в одиниці об'єму,  $z$  – концентрація пухирців;  $c$  – швидкість поширення акустичної хвилі в газорідинній суміші.

Після нескладних перетворень система рівнянь (1) та (2) зводиться до рівняння

$$\frac{\partial^2 p}{\partial x^2} - \frac{1}{c^2} \frac{\partial^2 p}{\partial t^2} - \rho_0 n \varepsilon p = \omega_0^2 \rho_0 n V, \quad (3)$$

яке описує поширення акустичних хвиль у двофазному середовищі.

Розглянемо випадок, коли зміна об'єму газового пухирця описується залежністю

$$V = V_0 \sin \omega_0 t. \quad (4)$$

Рівняння (3) за нульових початкових умов із урахуванням виразу (4) у зображеннях за Лапласом має вигляд

$$\frac{\partial^2 p_L}{\partial x^2} - \frac{s^2}{c^2} p_L - \rho_0 n \varepsilon p_L = \frac{V_0 \omega_0^2 \rho_0 n \omega_0}{s^2 + \omega_0^2}, \quad (5)$$

де  $s$  – комплексний параметр.

Представимо рівняння (5) у вигляді

$$\frac{\partial^2 p_L}{\partial x^2} - k^2 p_L = A, \quad (6)$$

$$\text{де } k^2 = \frac{s^2}{c^2} + \rho_0 n \varepsilon; \quad A = \frac{V_0 \omega_0^3 \rho_0 n}{s^2 + \omega_0^2}. \quad (7)$$

Загальний розв'язок неоднорідного рівняння (6) такий

$$p_L = p_L^{\text{одн}} + p_L^{\text{неодн}}, \quad (8)$$

де  $p_L^{\text{одн}}$  – загальний розв'язок однорідного рівняння;

$p_L^{\text{неодн}}$  – частинний розв'язок неоднорідного рівняння.

Загальний розв'язок однорідного рівняння має вигляд

$$p_L^{\text{одн}} = c_1 e^{kx} + c_2 e^{-kx}. \quad (9)$$

Будемо шукати частинний розв'язок неоднорідного рівняння (6) у вигляді суми (9), де  $c_1(x)$  і  $c_2(x)$  – деякі неперервно диференційовані функції, які знаходимо методом варіації функцій  $c_1(x)$  і  $c_2(x)$  [11].

Складемо систему:

$$\begin{aligned} c_1'(x) e^{kx} + c_2'(x) e^{-kx} &= 0; \\ c_1'(x) k e^{kx} - c_2'(x) k e^{-kx} &= A, \end{aligned} \quad (10)$$

де  $c_1'(x)$  і  $c_2'(x)$  – похідні за змінною  $x$ .

Розв'язуючи систему (10), знаходимо

$$c_1'(x) = \frac{A}{2k} e^{-kx}; \quad c_2'(x) = -\frac{A}{2k} e^{kx}.$$

Звідси

$$c_1(x) = -\frac{A}{2k^2} e^{-kx}; \quad c_2(x) = -\frac{A}{2k^2} e^{kx}. \quad (11)$$

Отже, частинний розв'язок неоднорідного рівняння (6) такий

$$p_L^{\text{неодн}} = \left( -\frac{A}{2k^2} \right) e^{-kx} e^{kx} - \frac{A}{2k^2} e^{kx} e^{-kx} = -\frac{A}{k^2}. \quad (12)$$

Таким чином, загальний розв'язок неоднорідного рівняння (6) має вигляд

$$p_L = c_1 e^{kx} + c_2 e^{-kx} - \frac{A}{k^2}. \quad (13)$$

Із початкової умови при  $x=0$   $p_L=0$  та фізичних міркувань, що зі збільшенням відстані  $x$  від джерела навантаження тиск  $p$  зменшується, знаходимо

$$c_1 = 0; \quad c_2 = \frac{A}{k^2}. \quad (14)$$

Отже, загальний розв'язок неоднорідного рівняння (6) у зображеннях за Лапласом має вигляд

$$p_L = \frac{A}{k^2} (e^{-kx} - 1). \quad (15)$$

Враховуючи позначення (7), розв'язок (15) представимо таким чином

$$p_L = \left( \frac{V_0 \omega_0^3 \rho_0 n}{s^2 + \omega_0^2} \right) \frac{1}{(s^2/c^2 + \rho_0 n \varepsilon)} \left[ \exp\left( -\frac{x}{c} \sqrt{s^2 + c^2 \rho_0 n \varepsilon} \right) - 1 \right]. \quad (16)$$

Перехід від тиску  $p_L$  у зображеннях за Лапласом до тиску  $p(x, t)$  трудомісткий і не завжди тривіальний. Тому подальші дослідження провадитимемо із використанням спектральних характеристик хвиль, випромінюваних газовими пухирцями.

Спектральна характеристика поля тиску в газорідному середовищі з урахуванням виразу (16) при  $s=j\omega$  має вигляд

$$s_p(x, \omega) = \frac{V_0 \omega_0^3 \rho_0 n c^2}{(\omega_0^2 - \omega^2)(c^2 \rho_0 n \varepsilon - \omega^2)} \left[ \exp\left( -\frac{x}{c} \sqrt{c^2 \rho_0 n \varepsilon - \omega^2} \right) - 1 \right]. \quad (17)$$

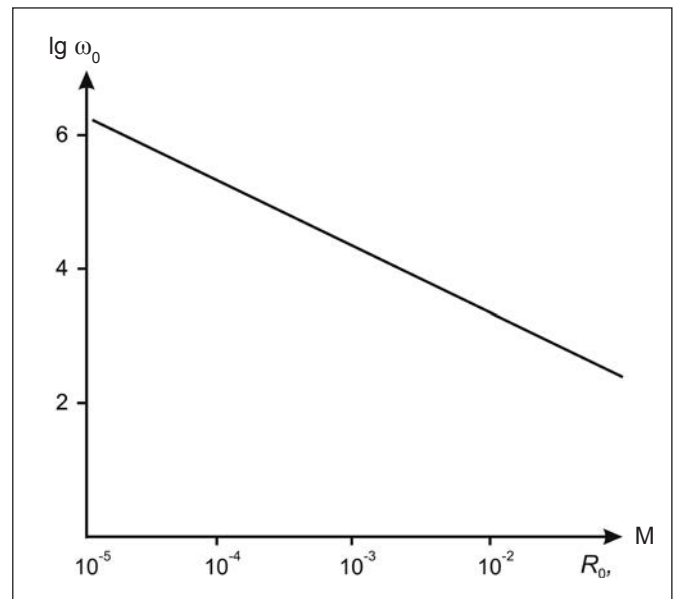


Рис. 1. Графічна залежність  $\lg \omega_0$  від радіуса пухирця  $R_0$

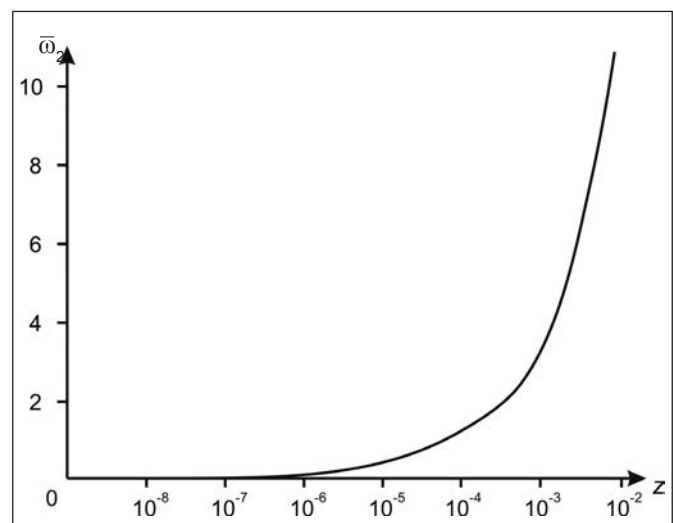


Рис. 2. Графічна залежність безрозмірної частоти  $\bar{\omega}_2$  від концентрації  $z$  пухирців

Із виразу (17) видно, що функція  $s_p(x, \omega)$  досягає максимального значення під час акустичної дії на частоті власних коливань газового пухирця  $\omega_1 = \omega_0$  та на частоті  $\omega_2 = \sqrt{c^2 \rho_0 n \epsilon}$ . Це так звані резонансні частоти. Граничне значення функції  $s_p(x, \omega)$  на частоті  $\omega^2 \rightarrow c^2 \rho_0 n \epsilon$  знаходимо таким чином

$$s_p(x, \omega) = \frac{V_0 \omega_0^3 \rho_0 n c^2}{(\omega_0^2 - c^2 \rho_0 n \epsilon)} \lim_{\omega^2 \rightarrow c^2 \rho_0 n \epsilon} \frac{e^{-\frac{x}{c} \sqrt{c^2 \rho_0 n \epsilon - \omega^2}} \left[ -\frac{x}{2c} (c^2 \rho_0 n \epsilon - \omega^2)^{-1/2} \right] (-2\omega)}{(-2\omega)} = \infty. \quad (18)$$

Відомо [7], що власна частота коливань газового пухирця визначається за виразом

$$\omega_0 = \frac{1}{R_0} \sqrt{\frac{3\gamma p_0}{\rho_0}}. \quad (19)$$

При  $\gamma = \frac{4}{3}$ ,  $p_0 = 1 \cdot 10^5$  Па,  $\rho_0 = 900$  кг/м<sup>3</sup> із (19) отримаємо

$$\omega_0 = \frac{21,08185}{R_0}. \quad (20)$$

У табл. 1 приведено значення частоти  $\omega_0$  і  $\lg \omega_0$  залежно від радіуса газового пухирця  $R_0$ .

За даними табл. 1 на рис. 1 приведено графічну залежність  $\lg \omega_0$  від радіуса пухирця  $R_0$ .

Із рис. 1 видно, що зі збільшенням радіуса  $R_0$  пухирця величина  $\lg \omega_0$  зменшується.

Другий резонанс відбувається на частоті

$$\omega_2 = \sqrt{c^2 \rho_0 n \epsilon}. \quad (21)$$

Враховуючи, що  $\epsilon = \frac{4\pi R_0}{\rho}$ ,  $n = \frac{z}{V_0}$ , із (21) отримаємо

$$\omega_2 = \frac{c\sqrt{3}}{R_0} \sqrt{z}. \quad (22)$$

Із виразу (22) видно, що за фіксованих  $c$ ,  $R_0$  частота  $\omega_2$  залежить від концентрації газових пухирців  $z$ . Так, при  $c = 1300$  м/с,  $R_0 = 1 \cdot 10^{-3}$  м із (22) маємо

$$\omega_2 = 2251666 \sqrt{z}. \quad (23)$$

Результати розрахунків за формулою (23) приведено в табл. 2 і на рис. 2 у діапазоні  $z = 1 \cdot 10^{-8} \dots 1 \cdot 10^{-2}$  (при  $\omega_0 = 21081,85$  1/с) [7].

Аналіз графіка рис. 2 показує, що в області значень концентрації пухирців  $z = 10^{-3} \dots 10^{-2}$  відбувається стрімке зростання величини безрозмірної частоти  $\bar{\omega}_2$ .

Увівши безрозмірну частоту  $\bar{\omega} = \frac{\omega}{\omega_0}$ , представимо залежність (17) у вигляді

$$s_p(x, \bar{\omega}) = \frac{V_0 \rho_0 n c^2 \left[ \exp\left(\frac{-x\omega_0}{c} \sqrt{\frac{c^2 \rho_0 n \epsilon}{\omega_0^2} - \bar{\omega}^2}\right) - 1 \right]}{\omega_0 (1 - \bar{\omega}^2) \left( \frac{c^2 \rho_0 n \epsilon}{\omega_0^2} - \bar{\omega}^2 \right)}. \quad (24)$$

Значення частот  $\omega_0$  і  $\lg \omega_0$  за різних величин  $R_0$  Таблиця 1

$R_0, \text{ м}$	$1 \cdot 10^{-1}$	$1 \cdot 10^{-2}$	$1 \cdot 10^{-3}$	$1 \cdot 10^{-4}$	$1 \cdot 10^{-5}$
$\omega_0, 1/\text{с}$	210,8185	2108,185	21081,85	210818,5	2108185,0
$\lg \omega_0$	2,324	3,324	4,324	5,324	6,324

Таблиця 2

Значення безрозмірної частоти  $\bar{\omega}_2$  за різних концентрацій  $z$  пухирців

$z$	0	$1 \cdot 10^{-8}$	$1 \cdot 10^{-7}$	$1 \cdot 10^{-6}$	$1 \cdot 10^{-5}$	$1 \cdot 10^{-4}$	$1 \cdot 10^{-3}$	$1 \cdot 10^{-2}$
$\omega_2, 1/\text{с}$	0	225,16	712,04	2251,6	7120,4	22516,6	71203,9	225166,6
$\bar{\omega}_2 = \frac{\omega_2}{\omega_0}$	0	0,011	0,034	0,107	0,338	1,068	3,377	10,68

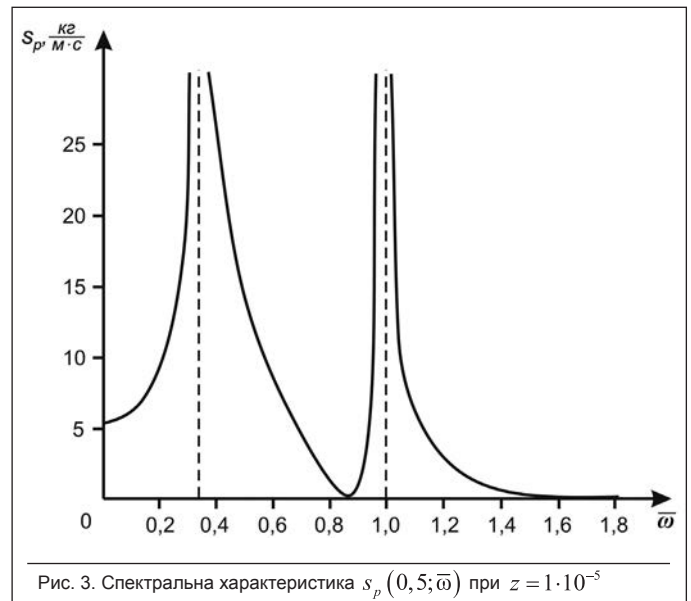


Рис. 3. Спектральна характеристика  $s_p(0,5; \bar{\omega})$  при  $z = 1 \cdot 10^{-5}$

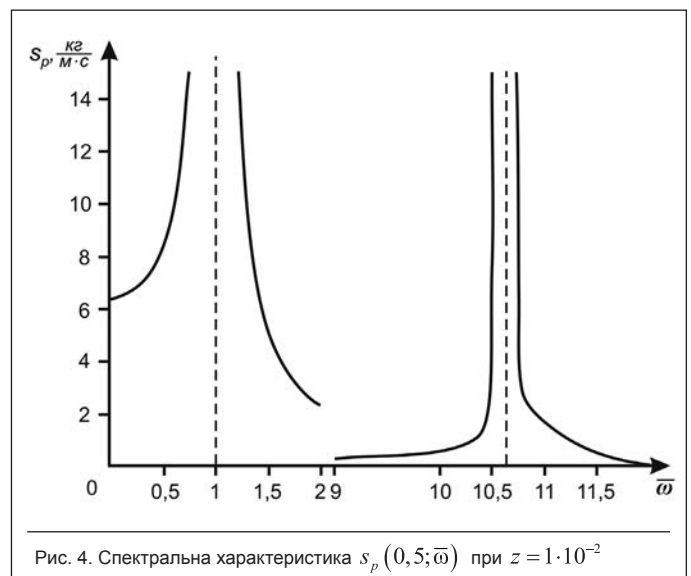


Рис. 4. Спектральна характеристика  $s_p(0,5; \bar{\omega})$  при  $z = 1 \cdot 10^{-2}$

При вихідних даних:  $x = 0,5$  м;  $R_0 = 1 \cdot 10^{-3}$  м;  $c = 1300$  м/с;  $\gamma = 4/3$ ;  $p_0 = 1 \cdot 10^5$  Па;  $\rho_0 = 900$ ; кг/м<sup>3</sup>;  $\omega_0 = 21081,85$  с<sup>-1</sup>;  $V_0 = 4,2 \cdot 10^{-9}$  м<sup>3</sup>;  $z = 1 \cdot 10^{-5}$ ;  $n = 2381$  1/м<sup>3</sup> спектральна характеристика (24) має вигляд

$$s_p(0,5;\bar{\omega}) = \frac{0,7215 \left[ \exp\left(-8,108\sqrt{0,1137 - \bar{\omega}^2}\right) - 1 \right]}{(1 - \bar{\omega}^2)(0,1137 - \bar{\omega}^2)}. \quad (25)$$

На рис. 3 приведено спектральну характеристику при акустичній дії на двофазне середовище із концентрацією газових пухирців  $z = 1 \cdot 10^{-5}$ .

Із рис. 3 видно, що під час акустичної дії на двофазне геосередовище із концентрацією газових пухирців  $z = 1 \cdot 10^{-5}$  надлишкове поле тиску досягає максимальних значень на частотах  $\bar{\omega} = 0,3372$ ;  $\bar{\omega} = 1,0$  і тому саме на цих частотах можна досягти найбільш ефективного оброблення газорідного флюїду. Значення кругових частот для умов нашого прикладу такі:

$$\omega_1 = 7108,8 \text{ Гц та } \omega_2 = 21081,85 \text{ Гц.}$$

За попередніх вихідних даних для концентрації газових пухирців  $z = 1 \cdot 10^{-2}$  (що відповідає  $n = 23,81 \cdot 10^5$  1/м<sup>3</sup>) із виразу (24) отримаємо

$$s_p(0,5;\bar{\omega}) = \frac{721,5 \left[ \exp\left(-8,108\sqrt{113,71 - \bar{\omega}^2}\right) - 1 \right]}{(1 - \bar{\omega}^2)(113,71 - \bar{\omega}^2)}. \quad (26)$$

На рис. 4 приведено спектральну характеристику акустичного поля тиску в двофазному газорідному середовищі, розраховану за формулою (26) із концентрацією пухирців  $z = 1 \cdot 10^{-2}$ .

Під час акустичної обробки двофазного середовища із концентрацією пухирців  $z = 1 \cdot 10^{-2}$ , як видно із рис. 4, значення резонансних частот становлять  $\bar{\omega} = 1$  та  $\bar{\omega} = 10,66$ , які відповідають круговим частотам  $\omega_1 = 21081,85$  Гц та  $\omega_2 = 224732,52$  Гц.

## Висновок

Отже, під час акустичного оброблення газорідних середовищ необхідно враховувати концентрацію газових пухирців, яка суттєво впливає на вибір частотних характеристик, від яких залежить результат акустичної дії. У процесі взаємодії акустичних хвиль тиску з пухирцями газу на їх резонансних частотах випромінювані пухирцями високочастотні хвилі, взаємодіючи з нафтою в порах і каналах фільтрації, призводять до зниження в'язкості нафти і послаблення її зв'язку з твердою фазою середовища пласта, що супроводжується покращенням фільтрації флюїду і підтверджується даними робіт [12, 13].

## Список використаних джерел

1. **Бойко В.С.** Разработка и эксплуатация нефтяных месторождений / В.С. Бойко. – М.: Недра, 1990. – 427 с.
2. **Волны в жидкости с пузырьками** / А.А. Губайдуллин, А.И. Ивандаев, Р.И. Нигматулин, Н.С. Хабеев // Итоги науки и техники. ВИНТИ. – 1982. – Т. 17. – С. 160–249. – (Сер. Механика жидкости и газа).
3. **Нагорний В.П.** Дослідження хвильового поля, що збуджується в нафтоносному пласті за наявності пухирцевого режиму течії флюїду / В.П. Нагорний, І.І. Денисюк, В.М. Лихван, Т.А. Швейкіна // Нафт. і газова пром-сть. – 2011. – № 3. – С. 21–25.
4. **Нагорний В.П.** Исследование повышения эффективности пузырькового режима течения флюидов / В.П. Нагорный, И.И. Денисюк, В.М. Лихван, Т.А. Швейкина // Нефтяное хозяйство. – 2013. – № 5. – С. 80–82.
5. **Нагорний В.П.** Спектры и их приложения к задачам взрывного дела / В.П. Нагорный, И.И. Денисюк. – К.: Ессе, 2010. – 184 с.
6. **Накоряков В.Е.** Распространение волн в газо- и парожидкостных средах / В.Е. Накоряков, Б.Г. Покусаев, И.Р. Шрейбер. – Новосибирск: Институт теплофизики, 1983. – 238 с.
7. **Поздеев В.А.** Импульсные возмущения в газожидкостных средах / В.А. Поздеев, Н.М. Бескаравайный, В.Г. Ковалев. – К.: Наук. думка, 1988. – 116 с.
8. **Руденко О.В.** Теоретические основы нелинейной акустики / О.В. Руденко, С.И. Солуян. – М.: Наука, 1975. – 288 с.
9. **Нагорний В.П.** Імпульсні методи інтенсифікації видобутку вуглеводнів / В.П. Нагорний, І.І. Денисюк. – К.: Ессе, 2012. – 323 с.
10. **Островский Л.А.** Введение в теорию модулированных волн / Л.А. Островский, А.И. Потапов. – М.: Физматлит, 2003. – 400 с.
11. **Бугров Я.С.** Дифференциальные уравнения. Кратные интегралы. Ряды. Функции комплексного переменного / Я.С. Бугров, С.М. Никольский. – М.: Наука, 1985. – 464 с.
12. **Горбачев Ю.И.** Акустическое воздействие и повышение рентабельности разработки нефтяных месторождений / Ю.И. Горбачев // НТВ: Каротажник. – Тверь: ГЕРС, 2000. – Вып. 60. – С. 12–16.
13. **Дыбленко В.П.** Повышение продуктивности и реанимация скважин с применением виброволнового воздействия / В.П. Дыбленко, Р.Н. Камалов, Р.Я. Шарифулин, И.А. Туфанов. – М.: Недра-Бизнесцентр, 2000. – 381 с.

